

Полученные экспериментальные результаты по исследованию температурной зависимости константы Холла кремния, а также концентрации носителей заряда и их подвижности в кремнии со всей очевидностью подтверждают вывод Регеля [1] о том, что кремний плавится по типу полупроводник—металл.

### Л и т е р а т у р а

- [1] Мокровский Н. П., Регель А. Р. Электропроводность жидкого кремния. — ЖТФ, 1953, т. 23, в. 5, с. 779—782.
- [2] Глазов В. М., Чижевская С. Н., Глаголева Н. Н. Жидкие полупроводники. М., 1967. 244 с.
- [3] Регель А. Р., Глазов В. М. Физические свойства электронных расплавов. М., 1980. 296 с.
- [4] Казанджан Б. И., Матвеев В. М., Селин Ю. И. Методика исследования эффекта Холла в жидких полупроводниках. — Зав. лаб., 1979, т. 45, в. 5, с. 433—435.
- [5] Жузэ В. П., Николаев С. Н. Метод измерения эффекта Холла в полупроводниках. — ЖТФ, 1953, т. 23, в. 5, с. 913—923.
- [6] Самсонов Г. В., Дворина Л. А., Рудь В. М. Силициды. М., 1979. 271 с.
- [7] Кольцов В. Б., Курбатов В. А., Селин Ю. И., Умаров А. М. Универсальный нагреватель для исследований электрофизических параметров металлов и полупроводников. — Зав. лаб., 1986, т. 52, в. 4, с. 52—53.
- [8] Глазов В. М., Кольцов В. Б., Курбатов В. А. Исследование температурной зависимости электропроводности и термоэдс кремния вблизи точки плавления в твердом и жидком состояниях. — ФТП, 1986, т. 20, в. 12, с. 2159—2162.
- [9] Буш Г., Винклер У. Определение характеристических параметров полупроводников. М., 1959. 139 с.
- [10] Шифрин К. С. Условия, при которых наблюдается заметное вырождение электронного газа. — ЖТФ, 1944, т. 14, в. 1, с. 40—81.

Московский институт  
электронной техники

Получено 12.06.1987  
Принято к печати 21.07.1987

ФТП, том 22, вып. 2, 1988

## ТУННЕЛЬНО-РЕКОМБИНАЦИОННЫЕ ТОКИ В $p-n$ -ПЕРЕХОДАХ НА ОСНОВЕ $Cd_xHg_{1-x}Te$ ПРИ $T > 80$ К

Баженов Н. Л., Гасанов С. И., Иванов-Омский В. И.,  
Мынбаев К. Д., Огородников В. К., Процык В. И.

В настоящее время широко исследуются фотодиодные структуры на основе твердых растворов  $Cd_xHg_{1-x}Te$  с целью создания на их основе приемников излучения [1]. Важным параметром, который характеризует механизмы протекания тока через  $p-n$ -переход, является удельное дифференциальное сопротивление диода при нулевом смещении  $Z$ . Показано, что в температурном диапазоне 77—290 К величина  $Z$  определяется диффузионным и генерационно-рекомбинационным токами [1], а при более низких температурах — туннелированием зона—зона и через локальные центры [2]. В работах [3, 4] сделаны расчеты, указывающие на то, что возможным механизмом, ограничивающим  $Z$  в  $Cd_xHg_{1-x}Te$  ( $0.2 < x < 0.3$ ) при  $T > 80$  К, может являться термическая генерация носителей заряда на локальный центр, сопровождающаяся туннелированием в соответствующую зону.

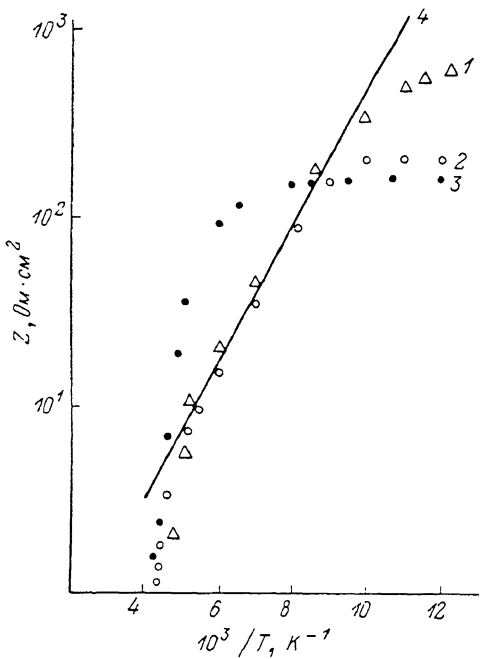
В настоящей работе сообщается об экспериментальном исследовании температурной зависимости  $Z$  в диапазоне  $77 < T < 290$  К.

Исходным материалом для создания  $p-n$ -структур служили слои  $Cd_{0.34}Hg_{0.66}Te$ , полученные методом жидкостной эпитаксии из теллурового раствора-расплава [5]. Эти слои имели дырочный тип проводимости. Концентрация и подвижность носителей составляли  $\sim 3 \cdot 10^{16}$  см $^{-3}$  и  $300 \div 400$  см $^2/V \cdot s$  соответственно;  $p-n$ -переходы создавались имплантацией алюминия.

Типичные температурные зависимости  $Z$  для ряда образцов представлены на рисунке. При  $T > 120$  К зависимость  $Z$  от обратной температуры для образцов 1 и 2 экспоненциальна, причем характерная энергия в показателе экспоненты составляет при  $T > 200$  К  $\Delta E \sim 0.17$  эВ, а в диапазоне  $110 < T < 200$  К —  $E_t \sim 0.065$  эВ. Кривая для образца 3 характеризуется одним наклоном с показателем, близким к  $\Delta E$ . Так как  $\Delta E \sim E_g/2$ , этот участок соответствует генерации Шокли—Рида. Поскольку  $E_t < E_g/2$ , то одними процессами термической генерации такая величина объяснена быть не может, а наиболее вероятным является последовательный процесс генерации и туннелирования с участием локального центра. Уровень, отстоящий на величину  $\sim 70$  мэВ от потолка валентной зоны, наблюдался в  $Cd_xHg_{1-x}Te$  при исследовании температурной зависимости времени жизни [6, 7] и DLTS спектроскопии [8]. Коэффициенты захвата электронов и дырок на него составляют соответственно  $\gamma_n \sim 10^{-8}$  и  $\gamma_p \sim 3 \cdot 10^{-7}$  см<sup>3</sup>/с [9].

Оценки, сделанные на основании работы [3], показывают, что в исследованном температурном диапазоне вероятность туннелирования носителя с этого уровня в зону проводимости превышает вероятность термического заброса на него электрона из валентной зоны. Следовательно,  $Z$  ограничивается в этом случае последним процессом. В этом случае, а также с учетом соотношения  $\gamma_p \gg \gamma_n$  из выражений для ВАХ в работе [3] можно получить формулу для  $Z$

$$Z = \frac{kT}{q^2} \frac{1}{N_t W p_1 \gamma_p} \left( 1 - \frac{E_g - E_t}{qU_0} \right)^{-1},$$



Температурные зависимости удельного дифференциального сопротивления  $p-n$ -переходов на основе  $Cd_xHg_{1-x}Te$  ( $x=0.34$ ).

1—3 — эксперимент, 4 — расчет.

где  $p_1 = N_n \exp(-E_t/kT)$ ,  $N_t$  — концентрация центров с энергией  $E_t$ ,  $W$  — ширина области объемного заряда,  $U_0$  — контактная разность потенциалов, остальные обозначения общепринятые. Для исследованных образцов оценены значения  $W=0.05$  мкм,  $U_0=0.30$  В.

Из рисунка видно, что расчетные зависимости хорошо описывают экспериментальные результаты. Подгоночный параметр  $N_t$  составляет  $\sim 10^{16}$  см<sup>-3</sup>, что близко к величине концентрации рекомбинационных центров в кристаллах  $Cd_xHg_{1-x}Te$  с аналогичными параметрами [9]. Образец 3 характеризуется малой концентрацией таких центров.

Таким образом, показано, что рекомбинационный уровень, лежащий на глубине  $\sim 70$  мэВ от потолка валентной зоны, ограничивает величину  $Z$  при  $T > 110$  К за счет термической генерации носителей на уровне из валентной зоны и последующего их туннелирования в зону проводимости при концентрациях рекомбинационных центров  $\sim 10^{16}$  см<sup>-3</sup>. Оценки показывают, что при  $N_t < 10^{14}$  см<sup>-3</sup> эффективность этого механизма мала по сравнению с другими механизмами, ограничивающими  $Z$ .

#### Л и т е р а т у р а

- [1] Баженов Н. Л., Гасанов С. И., Огородников В. К., Процык В. И. Фотодиоды на основе твердых растворов  $Cd_xHg_{1-x}Te$ . — Зарубежн. электрон. техн., 1986, № 8 (303), с. 3—25.
- [2] Placek-Popko E. — Acta Phys., Polon., 1985, v. A67, N 1, p. 237—240.
- [3] Anderson W. W., Hoffman H. J. — J. Appl. Phys., 1982, v. 53, N 12, p. 9130—9145.
- [4] Wong J. Y. — IEEE Trans., 1980, v. ED-27, N 1, p. 48—57.

- [5] Mironov K. E., Ogorodnikov V. K., Rozjumnyi V. D., Ivanov-Omskii V. I. — Phys. St. Sol. (a), 1983, v. 78, N 1, p. 125–131.  
[6] Баженов Н. Л., Гельмонт Б. Л., Иванов-Омский В. И., Малькова А. А., Огородников В. К., Тотиева Т. Ц. Рекомбинация неравновесных носителей заряда в  $n\text{-Cd}_x\text{Hg}_{1-x}\text{Te}$  ( $0.2 < x < 0.3$ ). — ФТП, 1982, т. 16, в. 1, с. 109–112.  
[7] Allegre J., Calas J., Fau C. — Infr. Phys., 1982, v. 22, N 2, p. 65–75.  
[8] Kinch M. A. — J. Vac. Sci. Techn., 1982, v. 21, N 1, p. 215–219.  
[9] Баженов Н. Л., Иванов-Омский В. И., Огородников В. К. Рекомбинация носителей заряда в  $p\text{-Cd}_x\text{Hg}_{1-x}\text{Te}$  ( $0.2 < x < 0.3$ ). — В кн.: Матер. VI Всес. симп. «Полупроводники с узкой запрещенной зоной и их применение». Львов, 1983, с. 68–69.

Физико-технический институт  
им. А. Ф. Иоффе АН СССР  
Ленинград

Получено 3.07.1987  
Принято к печати 21.07.1987

ФТП, том 22, вып. 2, 1988

## ОСОБЕННОСТИ ОСЦИЛЛЯЦИЙ ШУБНИКОВА—ДЕ-ГААЗА В $\text{Mn}_{0.11}\text{Hg}_{0.89}\text{Te}$

Беляев А. Е., Городничий О. П., Семенов Ю. Г., Шевченко Н. В.,  
Боднарук О. А., Раренко И. М.

В магнитосмешанных полупроводниках (МСП), в частности  $\text{Mn}_x\text{Hg}_{1-x}\text{Te}$  (МРТ), энергетический спектр свободных носителей модифицируется обменным взаимодействием с  $3d^5$ -электронами ионов  $\text{Mn}^{2+}$  [1]. В результате этого в магнитном поле  $\mathbf{H} \parallel OZ$  спиновое расщепление электронов будет определяться эффективным  $g$ -фактором [2]

$$g_{\Sigma}^{\pm} = g_0 + g_{ob} = g_0 - J_e \langle S_z \rangle / \mu_B H. \quad (1)$$

Вклад  $g_0$  в  $g_{\Sigma}$  определяется зонными параметрами МСП, тогда как  $g_{ob}$  обусловлен носитель-ионным обменным взаимодействием,  $J_e$  — обменная константа, знак перед которой выбран таким образом, чтобы  $J_e > 0$  соответствовала ферромагнитному взаимодействию,  $\langle S_z \rangle$  — термодинамически среднее значение  $z$ -компоненты локализованных спиновых моментов (ЛСМ), определяемое величиной  $H$ , температурой  $T$  и спин-спиновым взаимодействием (обычно антиферромагнитным) в подсистеме ЛСМ.

Перестройка энергетического спектра электронов проявляется на зависимостях поперечного магнитосопротивления  $\rho_{\perp}(H)$ , существенно изменяя картину осцилляций Шубникова—де-Гааза (ШГ) [3]. Положение осцилляционных максимумов в этом случае определяется выражением [4]

$$H_{\lambda}^{\pm} = \frac{\hbar c}{e} (\sqrt{2} \pi^2 n)^{1/3} \left[ \sum_{k=0}^N (\sqrt{k} + \sqrt{k \pm 2\gamma}) + 0.535 \sqrt{\frac{k_0 T}{\hbar \omega_c}} \right]^{-2/3}, \quad (2)$$

где  $N$  — номер уровня Ландау,  $n$  и  $m^*$  — концентрация и эффективная масса электронов,  $\omega_c = eH/m^*c$ ,  $\gamma = g_{\Sigma} m^*/m_0$ , знаки «+» и «-» соответствуют различным проекциям спинов. Как видно из (2), увеличение  $T$  при неизменном  $g_{\Sigma}$  приводит к уменьшению величины  $H_{\lambda}^{\pm}$ , причем наиболее заметно это должно оказаться на положении первого со стороны сильных полей наблюдаемого  $0_f$ -максимума ( $0_f = 0^+$  или  $0^-$  в зависимости от знака  $g_{\Sigma}$ ).

Однако в МСП с изменением  $T$  изменяется величина  $g_{\Sigma}$  [2], что может привести либо к усилению вышеуказанного эффекта, если  $\partial |g_{\Sigma}| / \partial T > 0$ , либо к ослаблению его (и даже изменению знака [5]), если  $\partial |g_{\Sigma}| / \partial T < 0$ . Таким образом, из исследований температурной зависимости осцилляционных максимумов можно сделать определенные выводы о вкладе носитель-ионного об-